

# چند دگریختی و شواهد فابریکی آن‌ها در سنگ‌های دگرگونی کمپلکس شورو، باختر سیرجان

کیوان اورنگ<sup>۱</sup> و محمد محجل<sup>(۲و\*)</sup>

۱. کارشناسی ارشد، گروه زمین‌شناسی، دانشکده علوم پایه، دانشگاه تربیت مدرس، تهران

۲. دانشیار، گروه زمین‌شناسی، دانشکده علوم پایه، دانشگاه تربیت مدرس، تهران

تاریخ دریافت: ۹۰/۱۰/۵

تاریخ پذیرش: ۹۱/۹/۱۲

## چکیده

مجموعه دگرگونی شورو، واقع در بخش جنوب خاوری پهنه سندج - سیرجان، سه گامه دگریختی اصلی و دو گامه دگرگونی را متحمل گردیده است که همگی پس از ژوراسیک میانی رخ داده‌اند. این مجموعه به بخش‌های چاه‌گز، چاه‌انجیر، چاه‌قند و دوچاه‌زهرا تقسیم شده است. دگریختی گامه اول در مناطق چاه‌گز و چاه‌انجیر، در بردارنده چین‌های یال موازی دارای میل کم تا متوسط رو به شمال باختر - جنوب خاور و برگوارگی پیوسته سطح محوری دارای شبکه دوم، باز تا بسته بوده، میل کم رو به شمال خاوری می‌باشد. چین‌های محصول دگریختی گامه دوم، باز تا بسته بوده، میل کم رو به شمال خاور - جنوب باختر داشته و برگوارگی کنگره‌ای سطح محوری آن‌ها شبیه زیاد به سوی شمال و جنوب دارد. برگوارگی ترکیبی گامه دوم، قائم بوده، راستای شمال خاور - جنوب باختر داشته و به موازات آن در واحدهای شیستی ناحیه چاه‌گز، پهنه‌های برشی محلی راستالغز راستگرد توسعه یافته‌اند. برگوارگی سطح محوری چین‌های مراحل اول و دوم با تبلور و آرایش بلورهای مسکویت مشخص شده و شرایط دما - فشار پائین رخساره شیست سبز را نشان می‌دهند. در دگریختی گامه سوم، چین‌ها ایستاده و دارای میل کم (در ناحیه چاه‌انجیر) تا متوسط (در ناحیه چاه‌گز) رو به شمال باختر هستند. در منطقه دوچاه‌زهرا، دگریختی گامه اول به دو بخش قابل تفکیک است: گامه نخست با فعالیت پهنه‌های برشی شکل پذیر راستالغز با راستای کلی خاوری - باختری و جای‌گیری هم زمان گرانیت دوچاه‌زهرا مشخص می‌شود. در گامه دوم، چین‌های دارای محور با میل کم رو به شمال باختر و جنوب خاور با سطوح محوری دارای شبکه متوسط رو به جنوب تا قائم تشکیل شده و پهنه‌های برشی شکل پذیر را با محور موازی با خطوط اره کششی چین می‌دهند.

واژه‌های کلیدی: چند دگریختی، سیرجان، گرانیت میلوانیتی، مجموعه دگرگونی شورو.

سنندج - سیرجان از زمان تریاس پایانی - ژوراسیک زیرین در جایگاه کمان ماقمایی قرار گرفته و فعالیت‌های ماقمایی در آن تا قبل از دوره کرتاسه پایانی استمرار داشته است (Berberian and Berberian,, 1981; Arvin et al., 2007; Omrani et al., 2008) به طوری که مجموعه‌های آتشفسانی - رسوبی و توده‌های نفوذی مرتبط با فرورانش، به قبل از این دوره زمانی تعلق دارند. مجموعه‌های آتشفسانی - رسوبی از گدازه‌های بازالتی -

## مقدمه

پهنه سندج - سیرجان با روند شمال باختر - جنوب خاور و طول و عرض به ترتیب ۱۵۰۰ و ۱۵۰-۲۰۰ کیلومتر، هسته دگرگونی کوهزاد زاگرس را تشکیل داده و دگریختی، دگرگونی و ماقمایسم چند گامه‌ای را تجربه کرده است. این تحول حاصل فرورانش لیتوسفر اقیانوسی تیس جوان به زیر پهنه سندج - سیرجان و سپس برخورد قاره‌ای ورق عربی با آن بوده است. پهنه

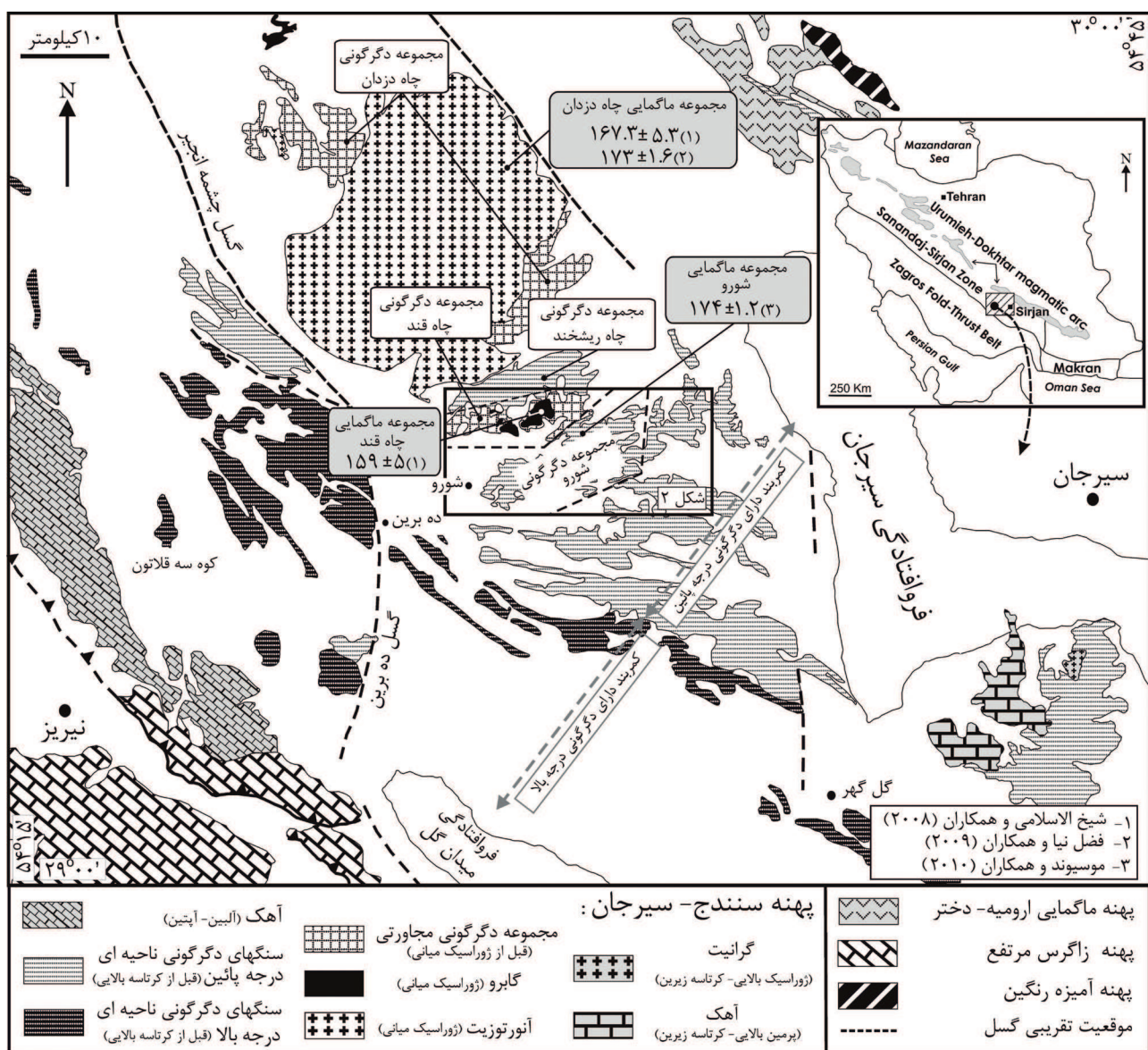
### زمین‌شناسی ناحیه‌ای

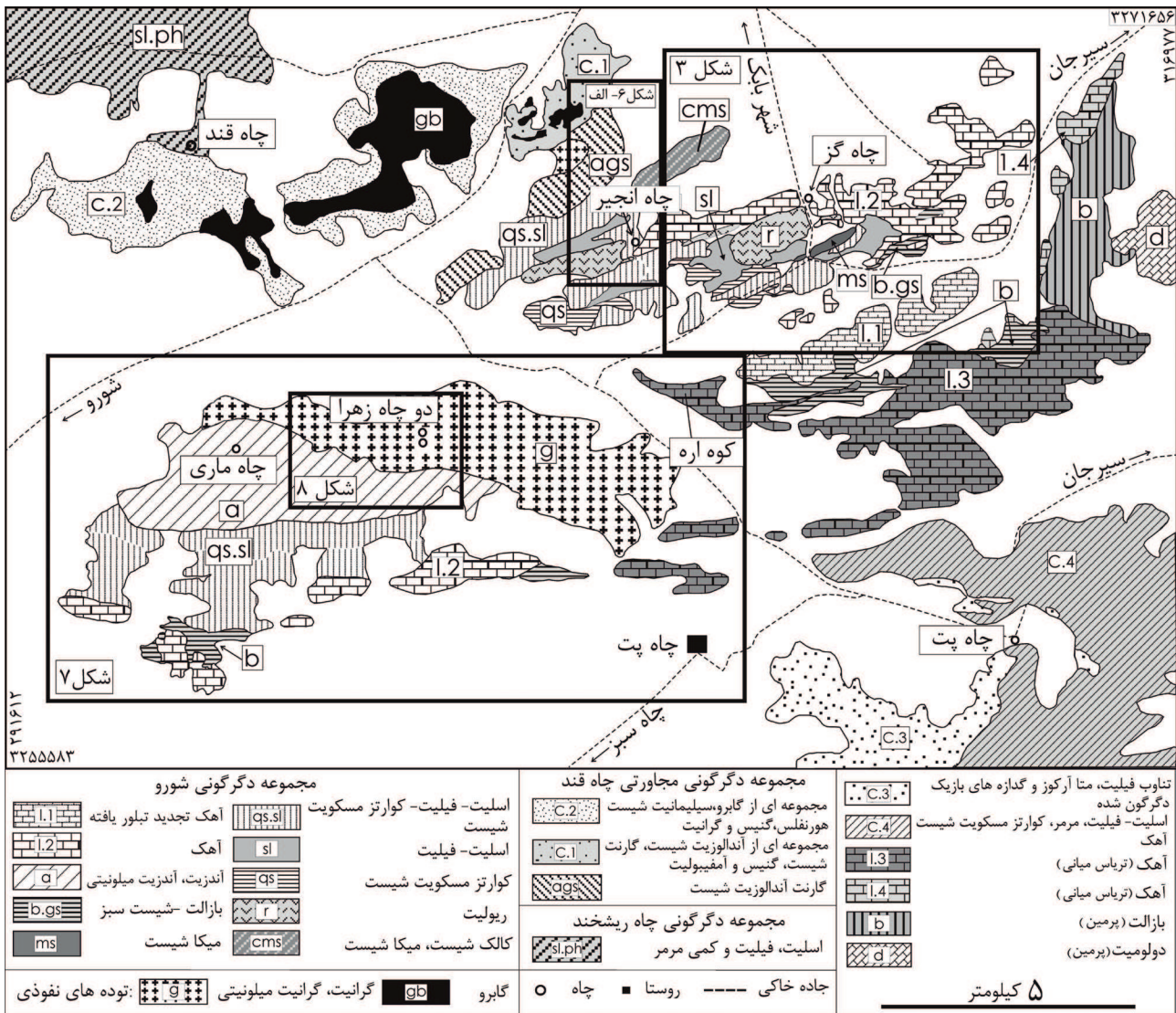
مجموعه‌های دگرگونی باخته سیرجان به دو گروه مجاورتی (مجموعه‌های چاه‌قند و چاه‌دزدان) و ناحیه‌ای (مجموعه‌های شورو و چاه‌ریشخند) قابل تفکیک هستند (شکل ۱). مجموعه دگرگونی مجاورتی چاه‌قند (شکل ۲) آمیخته‌ای از واحدهای هورنفلسی، شیسته‌های دارای آندالوزیت، سیلیمانیت، کردیریت و گارنت، آمفیبولیت و مرمر است که در نتیجه نفوذ و جای‌گیری گابریوی چاه‌قند ایجاد شده است (سبزه ای و همکاران، ۱۳۷۴). توده گابریوی چاه‌قند به ژوراسیک میانی تعلق دارد (Sheikhole- slami et al., 2003). مجموعه دگرگونی مجاورتی چاه‌دزدان از واحدهای اسلیتی دارای کردیریت و آندالوزیت تشکیل شده و حاصل نفوذ آنورتوزیت چاه‌دزدان است.

سن مجموعه ماقمایی چاه‌دزدان نیز ژوراسیک میانی است (Sheikholeslami et al., 2003; Fazlnia et al., 2009)

آندرزیتی، آذرآواری‌های آندزیتی، اسپیلیت و واحدهای تخریبی - آهکی تشکیل شده‌اند و در بخش‌های آهکی جنوب خاوری پنهانه (مناطق خبر، باغات و دشت ور) دارای فسیل‌هایی با سن ژوراسیک بالایی تا کرتاسه زیرین بوده‌اند (سبزه ای و همکاران، ۱۳۷۵ و ۱۳۷۶، سهنده و همکاران، ۱۳۷۶). شکل‌گیری و جای‌گیری توده‌های نفوذی، از زمان تریاس پایانی - ژوراسیک زیرین آغاز گشته و در دوره ژوراسیک میانی به اوج خود رسیده است. بسیاری از مجموعه‌های نفوذی مانند بروجرد، چاه‌دزدان، (Shahbazi et al., 2003; Fazlnia et al., 2009; Ah- Shejholeslami et al., 2010) (madi Khalaji et al., 2007

نوشتار حاضر به بررسی دگریختی و شواهد فابریکی آن در مجموعه دگرگونی شورو واقع در ۶۰ کیلومتری باخته سیرجان می‌پردازد.





شکل ۲. نقشه واحدهای سنگی ناحیه چاه‌گز-دوچاهه‌ها. ترسیم شده برپایه تصاویر ماهواره‌ای و داده‌های صحرایی. توصیف واحدهای مجموعه دگرگونی چاه قند بر اساس اطلاعات سبزه‌ای و همکاران (۱۳۷۴) ارائه شده است.

تعلق دارد (Mousivand et al., 2011).

## دگریختی

نمود اصلی دگریختی در مجموعه دگرگونی شورو، چین خوردگی چند گامه‌ای، توسعه برگوارگی‌ها و عملکرد پهنه‌های برشی شکل‌پذیر است. در این مجموعه سه گامه دگریختی اصلی و دو گامه دگرگونی تشخیص داده شده است. مجموعه شورو را می‌توان به بخش‌های چاه‌گز، چاه‌انجیر و دوچاهه‌ها تقسیم کرد (شکل ۲). روند طاقف‌رم‌های بزرگ مقیاس گامه دوم در بخش‌های چاه‌گز و چاه‌انجیر در شکل ۳ نشان داده شده است. تفکیک و انطباق ساختارها در این سه بخش، براساس سه قاعده برهم‌افزایی، سبک چین خوردگی، آرایش و روند عناصر ساختاری صورت گرفته است (Williams, 1985). در بخش مطالعات فابریکی و با در نظر داشتن اهدافی چون شناسایی ماهیت برگوارگی‌ها و رابطه آن‌ها با یکدیگر، تحلیل

دگرگونی چاه‌ریختند از واحدهای دگرگونی دما پائین مانند سلیت، فیلیت و کمی مرمر تشکیل شده است و در مجاورت توده نفوذی چاه‌دزدان آثاری از دگرگونی مجاورتی نشان می‌دهد (سیزهای و همکاران، ۱۳۷۴؛ Watters et al., 1970). سنگ اولیه مجموعه دگرگونی شورو متشكل از واحدهای آتشفسانی (گدازهای و آذرآواری‌های ریولیتی - ریوداسیتی، بازالت و آندزیت (و واحدهای رسوبی (گل‌سنگ و آهک) است که بخش‌هایی از آن در اثر دگرگونی به واحدهای فیلیتی، سلیتی و شیستی تبدیل شده اند (شکل ۲). مرز واحدهای سنگی با یکدیگر تدریجی و عادی بوده و رسوب گذاری واحد گل‌سنگ و فوران گدازه‌های ریولیتی و بازالتی هم زمان رخ داده است. گرانیت دوچاهه‌ها توode نفوذی اصلی منطقه است و در داخل واحد آندزیتی نفوذ کرده است. سن سنجی U/Pb بر روی گدازه‌های ریوداسیتی ناحیه چاه‌گز آشکار کرده است که مجموعه آتشفسانی - رسوبی شورو، به دوره ژوراسیک میانی (با سن میانگین  $174 \pm 1/2$  میلیون سال)

(جهت میل / میل) است (شکل ۱-۶). برگوارگی سطح محوری چین‌های گامه اول از نوع پیوسته بوده و در اثر تبلور و آرایش بلورهای مسکوویت و سریسیت تشکیل شده است. برگوارگی در اثر چین خوردگی گامه دوم موقعیت‌های بسیار متغیری پیدا کرده است. نمونه‌های حفظ شده از آن در اسلیت‌ها و شیسته‌های سبز یافت شده است. راستای برگوارگی‌ها بین  $288^{\circ}$ - $325^{\circ}$  متغیر بوده و شیب ۱۵ تا  $35^{\circ}$  درجه رو به شمال خاوری دارند.

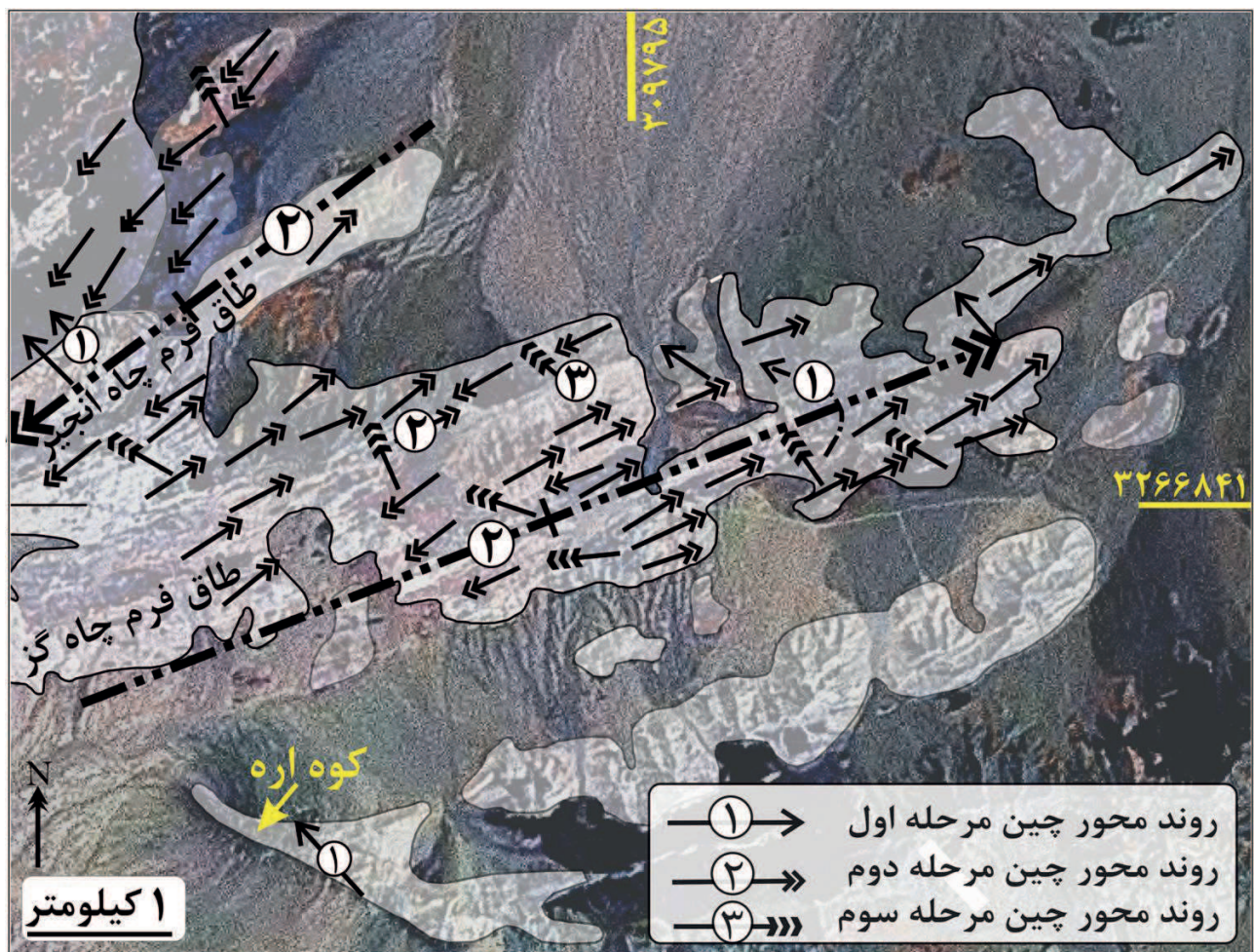
### دگریختی گامه دوم

طاق فرم چاه‌گز، چین بزرگ مقیاس این گامه بوده و طول و عرض آن به ترتیب ۱۰ و ۳ کیلومتر است (شکل ۴). این ساختار دارای هندسه نیمه استوانه‌ای بوده، یال‌های عادی با شیب متوسط داشته و موقعیت محوری آن  $17^{\circ}/062^{\circ}$  است (شکل ۲-۶). چین‌های متوسط و کوچک مقیاس گامه دوم دارای تمایل سطح محوری زیاد بوده و محور با میل کم تا متوسط دارند و در بیشتر موارد از نوع باز تا بسته هستند (شکل ۵-۵ ب و د). در شیسته‌ها، چین‌های بسیار بسته تا یال موازی نیز یافت شده‌اند. توزیع موقعیت محور چین‌های متوسط مقیاس، دو تمرکز اصلی

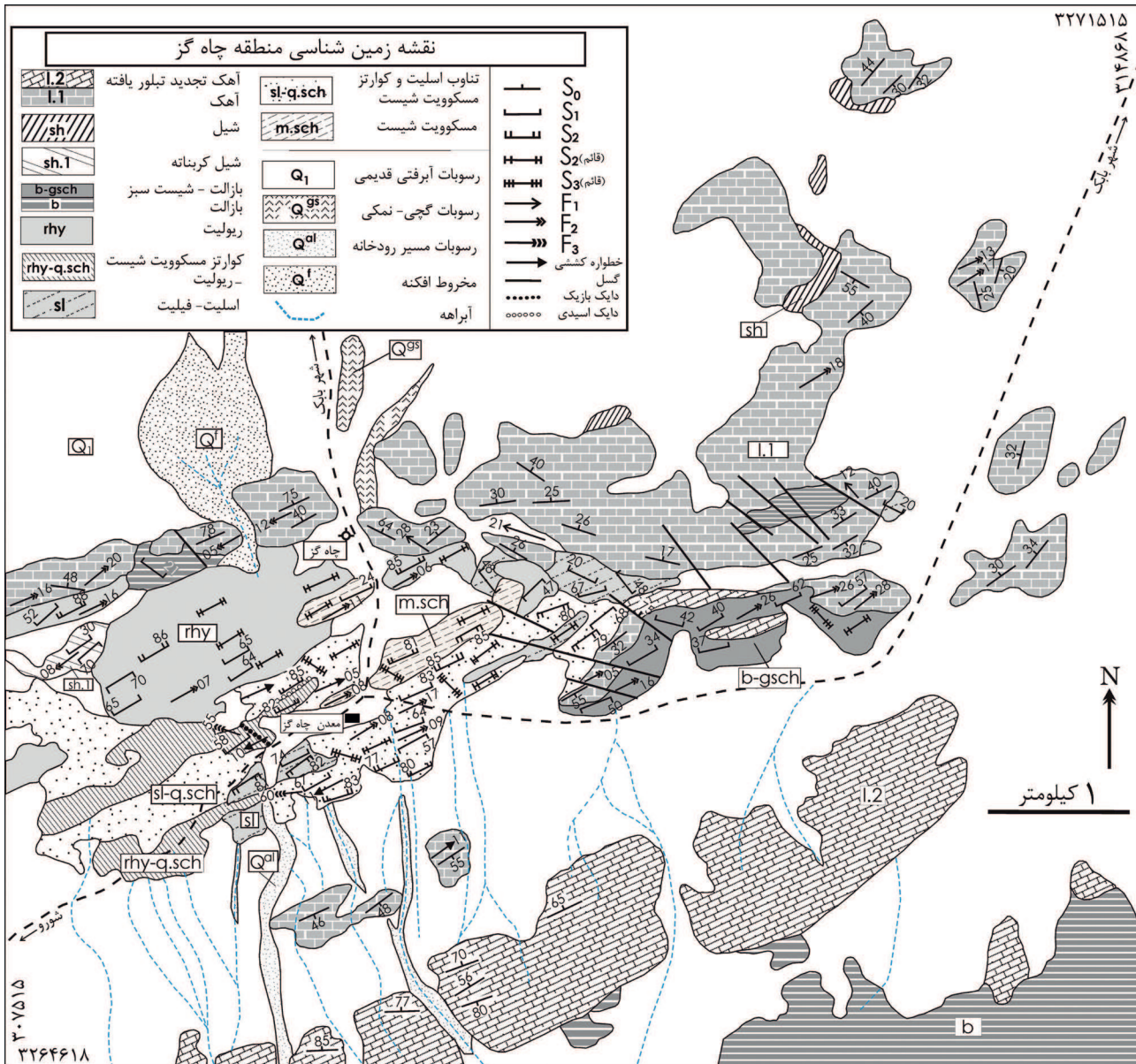
حرکتی پهنه‌های برشی شکل پذیر و بررسی شرایط دگرگونی، نمونه‌برداری جهت‌دار از واحدهای سنگی صورت گرفته و برش‌های سنگی و مقاطع نازک مورد مطالعه قرار گرفته‌اند.

### ناحیه چاه‌گز دگریختی گامه اول

ساختمانهای بازمانده از دگریختی گامه اول عبارتند از چین‌ها و برگوارگی‌هایی که به ترتیب در واحد آهکی، شیسته، اسلیتی و فیلیتی حفظ شده‌اند. چین‌های متوسط مقیاس، در یال شمالی طاق فرم چاه‌گز (شکل ۴) و همچنین در جنوب ناحیه چاه‌گز (کوه اره) یافت شده‌اند (شکل‌های ۳ و ۵-الف). آن‌ها در بیشتر موارد دارای یال‌های موازی بوده و یال جنوبی برگشته دارند. چین‌ها دارای میل کم تا متوسط ( $13^{\circ}-45^{\circ}$  درجه) رو به شمال-شمال باخته (در ناحیه چاه‌گز) و شمال باخته (در کوه اره) هستند و سطوح محوری آن‌ها شیب متوسط ( $50^{\circ}-33^{\circ}$  درجه) رو به شمال خاوری دارند. انواع کوچک مقیاس چین‌های گامه اول در آهک‌ها و با فراوانی کمتر در فیلیت‌ها مشاهده شده است. یال‌های چین‌ها به شدت نازک شده‌اند و موقعیت محوری آن‌ها  $38^{\circ}/323^{\circ}$



شکل ۳. تصویر ماهواره‌ای و نقشه ساده ساختاری از موقعیت طاق‌فرم‌های با مقیاس کیلومتری گامه دوم و روند محوری چین‌های متوسط مقیاس هر سه گامه دگریختی در ناحیه چاه‌گز و چاهانجیر.

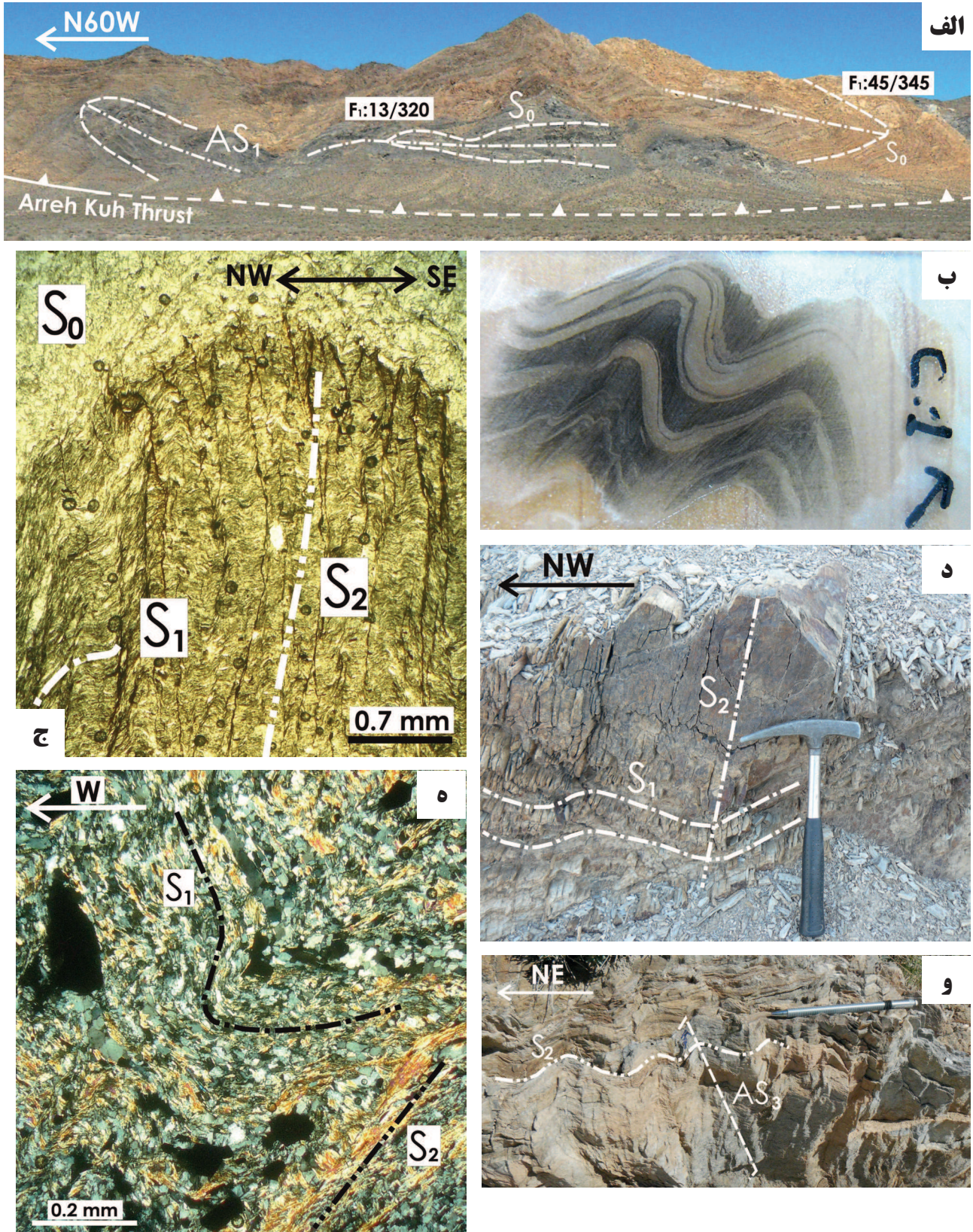


شکل ۴. نقشه زمین شناسی ساختاری ناحیه چاه‌گز.

چین‌های گامه دوم بوده و موقعیت آن  $0^{\circ} / 88^{\circ}$  NW (جهت شیب - شب / امتداد) است (شکل ۴-۶). به موازات برگوارگی ترکیبی واحدهای فیلیتی و شیستی، پهنه‌های برشی شکل پذیر محلی توسعه یافته‌اند. موقعیت برگوارگی میلوئیتی و خطرواره کششی به ترتیب  $0^{\circ} / 88^{\circ}$  NW،  $0^{\circ} / 63^{\circ}$  و  $0^{\circ} / 61^{\circ}$  است و توسعه برگوارگی‌های S/C و میکاها ماهی شکل، سازوکار راستالغز راستگرد را برای این پهنه‌ها نشان می‌دهند.

**دگریختی گامه‌های سوم و چهارم**  
ساختارهای گامه سوم، موجب دگریختی خفیف در ساختارهای قبلی شده و کانی‌های دگرگونی جدیدی آن‌ها را همراهی نمی‌کنند. چین‌های این گامه کوچک مقیاس و کم دامنه، متقاضان، ملايم تا باز و دارای تمایل سطح محوری زیاد و میل

و فرعی با موقعیت‌های  $0^{\circ} / 69^{\circ}$  و  $45^{\circ} / 0^{\circ}$  را نشان می‌دهند (شکل ۳-۶) که به ترتیب در واحدهای شیستی و آهکی، فراوانی دارند. برگوارگی سطح محوری چین‌ها، از نوع کلیواژ کنگره‌ای بوده و راستای  $-0^{\circ} / 64^{\circ}$  -  $0^{\circ} / 59^{\circ}$  و شیب بیش از  $70^{\circ}$  درجه رو به شمال و جنوب دارد (شکل ۵-ج و ۵-ه). تبلور، جهت یافتگی و آرایش مجدد بلورهای میکا به همراه فرایند انتقال محلول و عملکرد انحلال فشاری (شکل ۵-ج)، فرایندهای اصلی ایجاد توسعه برگوارگی بوده است. بجز برگوارگی سطح محوری چین‌ها، برگوارگی دیگری نیز در منطقه حضور دارد که منحصر به ناحیه لولایی چین‌ها نبوده و گسترشی فراگیر دارد. برگوارگی فوق در واحدهای شیستی توسعه یافته و در بیشتر موارد، همراه با لایه‌بندی و برگوارگی گامه اول، تشکیل برگوارگی ترکیبی را داده است. این برگوارگی حاصل فشردگی و تخت شدگی یالهای



شکل ۵. ساختارهای ناحیه چاه‌گز. (الف) چین‌های گامه اول در واحدهای آهکی و بازالتی کوه اره، (ب) الگوی تداخلی کوچک مقیاس، میان چین‌های مرحله اول و دوم در واحد فیلیتی، (ج) چین خوردگی لایه‌بندی و برگوارگی گامه اول، به موازات برگوارگی کنگره‌ای گامه دوم، انحلال فشاری گسترده‌ای رخ داده است. (د) چین و برگوارگی گامه دوم در واحد کوارتز مسکویت شیست، (ه) برگوارگی کنگره‌ای توسعه یافته در سطح محوری چین‌های گامه دوم، واحد کوارتز مسکویت شیست، و چین‌های کوچک مقیاس گامه سوم.

درجه) رو به شمال باخته هستند و سطوح محوری آنها شیب کم (۱۰-۴۰ درجه) رو به جنوب باخته دارند. موقعیت میانگین محور چین‌ها  $110^{\circ}/313^{\circ}$  است (شکل ۷-۶). برگوارگی پیوسته این گامه در اثر تبلور و آرایش بلورهای کلریت و مسکویت ایجاد شده است.

### د گردیختی گامه دوم

طاق فرم چاه انجیر، چین بزرگ مقیاس گامه دوم بوده و طول و عرض آن به ترتیب ۶ و  $2/5$  کیلومتر است (شکل ۷-الف). این ساختار دارای هندسه نیمه استوانه‌ای بوده، یال‌های عادی با شیب کم تا متوسط داشته و محور آن موقعیت  $0^{\circ}/222^{\circ}$  دارد (شکل ۷-۸). چین‌های متوسط و کوچک مقیاس گامه دوم، شیب سطح محوری زیاد و محور با میل کم رو به شمال خاوری و جنوب باخته داشته و از نوع باز تا بسته می‌باشند. توزیع محور آنها دو تمکز جداگانه با موقعیت‌های  $150^{\circ}/055^{\circ}$  و  $120^{\circ}/224^{\circ}$  را نشان می‌دهد (شکل ۹-۶).

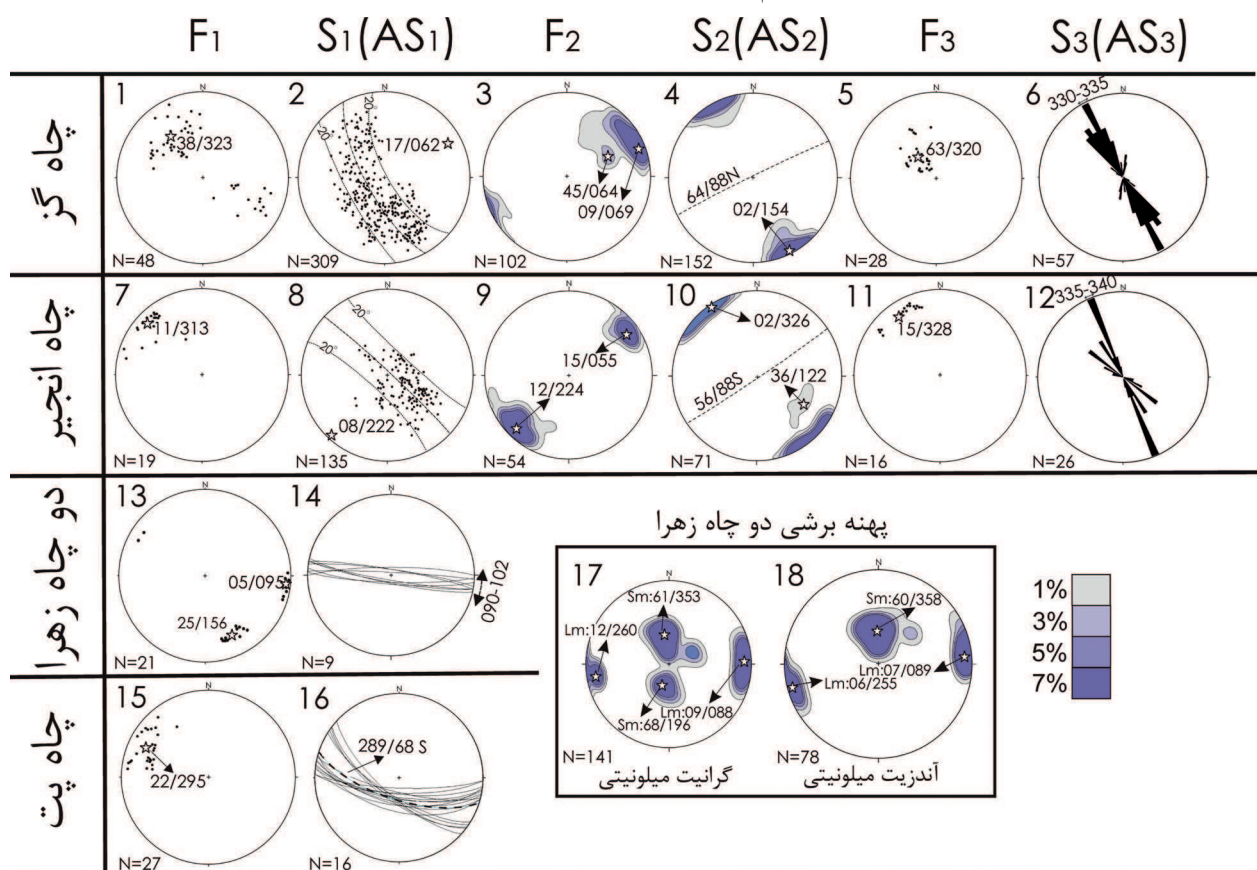
سطوح محوری چین‌های گامه دوم موقعیت میانگین  $0^{\circ}/72^{\circ}$  NW داشته و به موازات آنها در واحدهای شیستی و اسلیتی، برگوارگی کنگرهای شکل گرفته است. مشابه ناحیه چاه‌گر، برگوارگی ترکیبی در واحدهای شیستی توسعه یافته است و موقعیت  $0^{\circ}/88^{\circ}$  SE دارد (شکل ۷-۶).

متوسط هستند (شکل ۵-و) و موقعیت محوری آنها است (شکل ۵-۶). کینکباندهای مزدوج، برگوارگی‌های قبلی را در ابعاد چند سانتیمتری متأثر کرده‌اند. سطوح محوری آنها شیب زیاد تا قائم داشته و راستای اصلی  $330^{\circ}-335^{\circ}$  دارند (شکل ۶-۶). پهنه‌های برشی شکنا، شکنا-شکنا-شکل‌پذیر، راستای  $0^{\circ}-44^{\circ}$  و شیب متوسط رو به شمال باخته و جنوب خاور دارند. این پهنه‌ها سازوکار راستالغز داشته، با برگوارگی گامه اول همسوی نشان می‌دهند و حاصل فعل شدگی دوباره آن در طی چین خوردگی گامه سوم می‌باشند. دگردیختی گامه چهارم منحصر به محدوده معدن چاه‌گر بوده و در طی آن ساختارهای کششی همچون رگه‌های سیلیسی و دایک‌های مافیک شکل گرفته‌اند. رگه‌ها شیب زیاد تا قائم داشته و دارای راستای اصلی  $310^{\circ}-340^{\circ}$  هستند. دایک‌ها دارای شیب بسیار زیاد از جنس مونزودیوریت بوده و راستای  $315^{\circ}-340^{\circ}$  دارند.

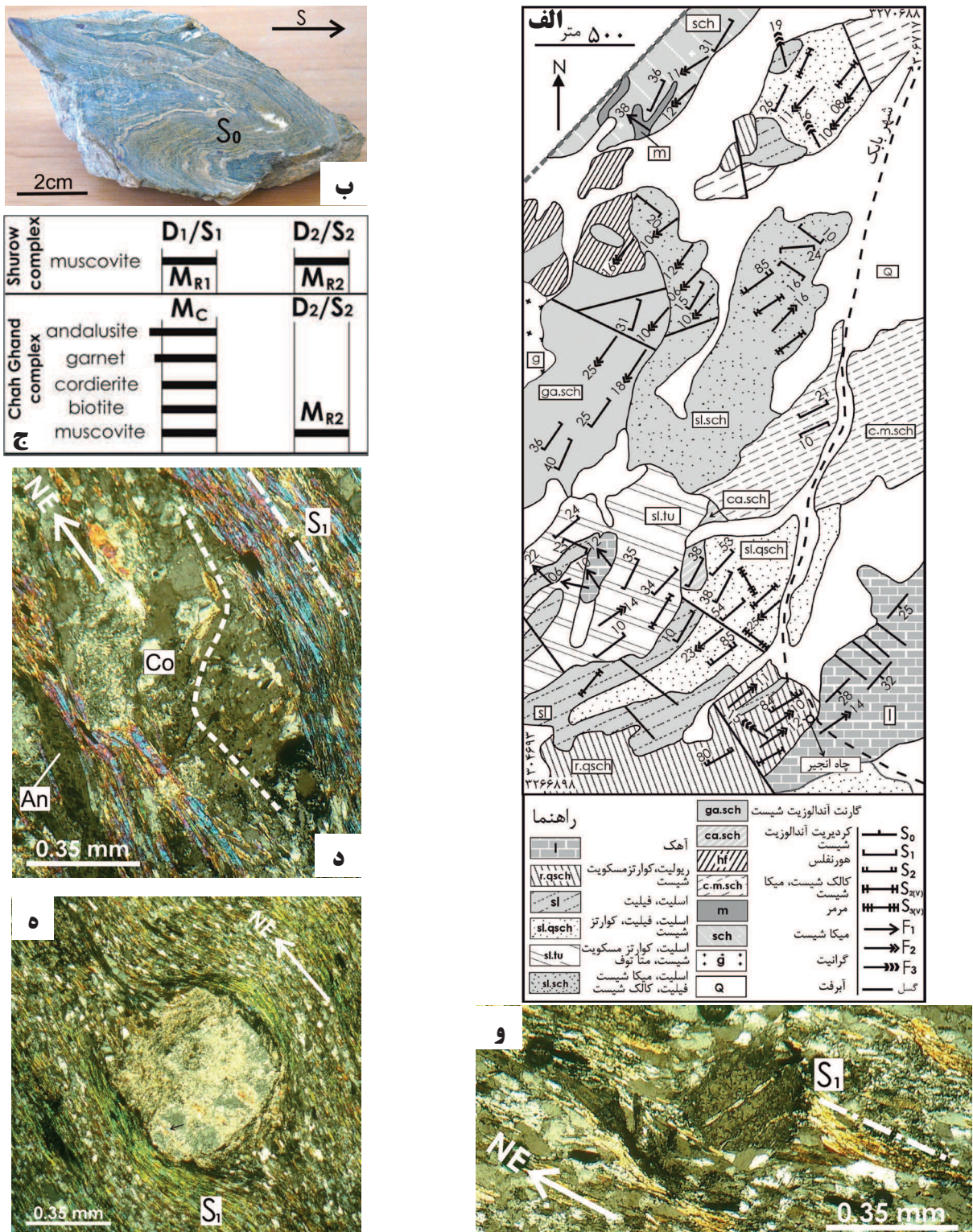
### ناحیه چاه انجیر

#### د گردیختی گامه اول

چین‌های این گامه به ترتیب فراوانی در واحدهای آهکی، شیل کربناته، مرمر و اسلیت توسعه یافته‌اند. آنها در بیشتر موارد بسیار بسته تا یال موازی بوده (شکل ۷-ب)، دارای میل کم  $11-27^{\circ}$ .



شکل ۶. استریونت‌های عناصر ساختاری مناطق چاه‌گر، چاه‌انجیر، دوچاه‌زهرا و چاه‌پت. داده‌ها در نیمکره پائینی و بر روی شبکه هم مساحت تصویر گردیده‌اند و در شکل‌های ۱۷، ۱۰، ۹، ۴، ۳ و ۱۸ بر اساس ۱، ۵، ۳، ۱ و ۷٪ توزیع داده‌ها در ۱٪ مساحت کشوربندی شده‌اند. ستاره‌ها موقعیت میانگین داده‌های ساختاری را نشان می‌دهند.



شکل ۷. (الف) نقشه زمین شناسی ناحیه چاهانجیر. ترسیم شده برپایه عکس‌های هوایی، (ب) چین کوچک مقیاس گامه اول در ناحیه چاهانجیر، (ج) نمودار نمایش دهنده رابطه میان تبلور کانی‌ها و مراحل مختلف دگرگونی در مجموعه‌های دگرگونی شورو و چاهانجیر، دگرگونی (Mc)، دگرگونی ناحیه‌ای (MR)، (د) بلورکردیریت (Co) دارای ادخال‌های چرخنده از میکا (مشخص شده با خط چین) که نشانه هم زمانی تبلور بلور و شکل‌گیری برگوارگی زمینه است. در سمت چپ تصویر، آندالوزیت (An) در مقطع طولی دیده می‌شود که هم زمان با برگوارگی زمینه ایجاد شده است، (ه) انحراف برگوارگی در اطراف بلور آندالوزیت نشانه آن است که بخش قابل توجهی از بخش مرکزی بلور، قبل از برگوارگی شکل گرفته است. از طرف دیگر چرخش و ورود برگوارگی زمینه به بخش خارجی بلور، نشانه تبلور هم زمان این بخش با برگوارگی زمینه است، (و) بلور گارنت دارای ادخال‌های چرخنده از میکا که همزمان با تشکیل برگوارگی گامه اول تبلور یافته است. برگوارگی زمینه در بخش زیرین و میانی گارنت چرخیده و ادامه آن در داخل بلور حفظ شده است.

متوسط و کوچک مقیاس گامه دوم، به میزان تنگ شدگی، اندازه ناحیه لولایی و مقدار توسعه یافته‌گی یال‌های چین‌های گامه اول بستگی دارد (Ramsay, 1967). در صورتی که چین‌های گامه اول یال‌موازی باشند و ناحیه لولایی آن‌ها باریک باشد، محور چین‌های گامه دوم، تنها یک تمرکز غالب را نشان می‌دهد.

اما اگر لایه‌بندی و برگوارگی گامه اول موقعیت هندسی یکنواختی در منطقه داشته و چین‌های این گامه دارای یال‌های توسعه یافته و ناحیه لولایی باریک باشند، محور چین‌های گامه دوم، دو تمرکز جداگانه نشان می‌دهند و موقعیت آن‌ها توسط یال‌های چین‌های گامه اول کنترل می‌گردد. قاعده اول در مورد ناحیه چاه‌گز صادق است. جایی که در اثر هندسه یال‌موازی چین‌های اولیه، محور چین‌های جدیدتر یک توزیع غالب نشان می‌دهند (شکل ۳-۶). قاعده دوم در رابطه با ناحیه چاه‌انجیر صدق می‌کند. در این ناحیه، توزیع دوگانه محور چین‌های گامه دوم، بازتاب‌دهنده یال‌های توسعه یافته و ناحیه لولایی باریک چین‌های گامه اول است. مقدار و جهت شیب یال‌های چین‌های گامه اول، بر روی میل و روند محور چین‌های گامه دوم متاثر داشته است. به طوری که در اثر شیب کم آن‌ها، میل محور چین‌ها از ۲۵ درجه فراتر نرفته و به دلیل عادی بودن یال‌ها، چین‌های بعدی دو روند شمال خاور و جنوب باخترا نشان می‌دهند (شکل ۹-۶). روابط زاویه‌ای میان چین‌خوردگی‌های مراحل اول و دوم در مناطق چاه‌گز - چاه‌انجیر این گونه اقتضا می‌کنند که محور و سطح محوری چین‌های گامه اول، در طی چین‌خوردگی دوم چهار چین‌خوردگی مجدد شده باشند. داده‌های صحرایی نشان‌دهنده آن است که الگوی چین‌های تداخلی هر دو منطقه، بر اساس طبقه‌بندی (Ramsay, 1967)، از نوع حالت تدریجی ۱ به ۲ و در تقسیم‌بندی (Thiesson and Means, 1980) از نوع ۲ است.

### ناحیه دوچاه زهرا

در ناحیه دوچاه‌های آثار دگریختنی گامه اول قابل مشاهده است و در طی آن ساختارهایی چون چین‌ها و پهنه‌های برشی شکل‌پذیر ایجاد شده‌اند (شکل ۸). چین‌های متوسط و کوچک مقیاس، در واحدهای مرمری شمال روستای چاه‌پت رخنمون دارند. آن‌ها دارای میل کم ( $35^{\circ}$ - $40^{\circ}$ ) را به شمال باخترا بوده، باز تا بسته هستند و سطوح محوری آن‌ها شیب زیاد ( $75^{\circ}$ - $80^{\circ}$  درجه) را به جنوب دارند (شکل ۹). موقعیت محور و سطوح محوری آن‌ها به ترتیب  $220^{\circ}$ - $295^{\circ}$  و  $68^{\circ}$ - $80^{\circ}$  SW است (شکل ۱۵-۶). چین‌ها توسط راندگی‌هایی متاثر شده‌اند که شیب رو به جنوب داشته و همزمان یا کمی پس از چین‌خوردگی ایجاد شده‌اند. پهنه‌های برشی شکل‌پذیر، موجب توسعه فابریک میلونیتی در واحدهای گرانیتی، آندزیتی و ریولیتی گردیده‌اند. این پهنه‌ها در طی جای‌گیری گرانیت دوچاه‌زهرا فعال بوده‌اند و خود در اثر استمرار دگریختنی گامه اول، چین‌خوردگی دارند.

### دگریختی گامه سوم

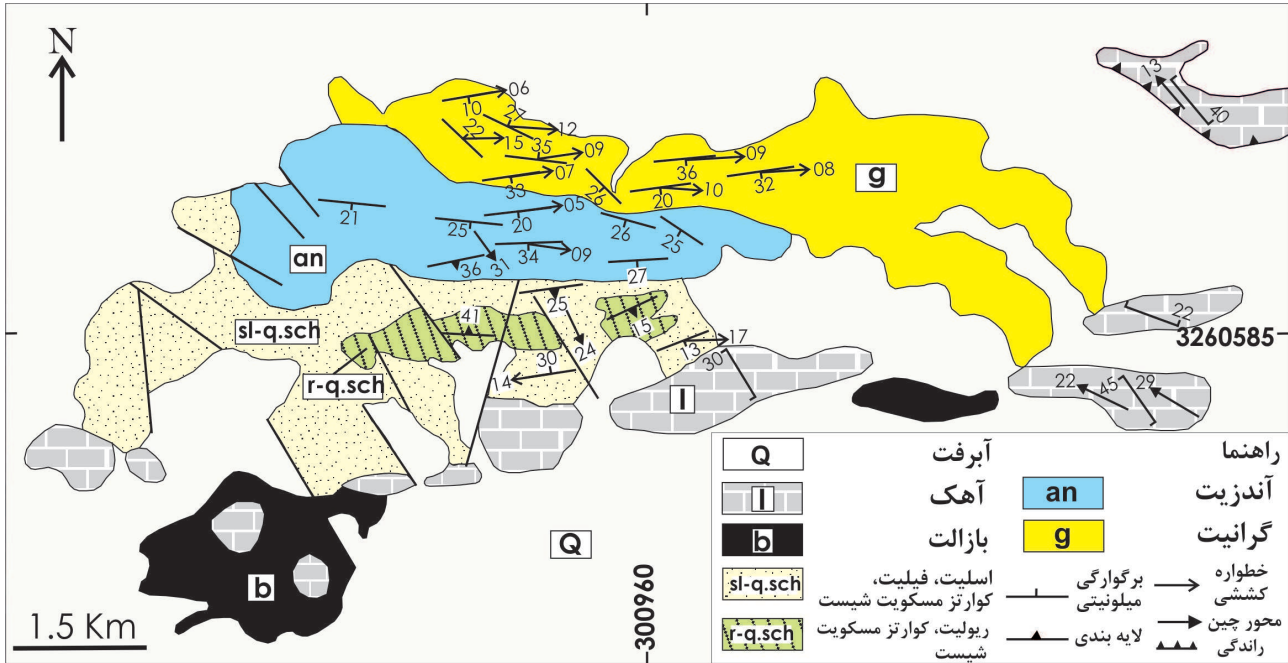
ساختارهای گامه سوم منحصر به واحدهای شیستی و اسلیتی بوده، موجب دگریختنی خفیف در ساختارهای قبلی شده و دگرگونی مشخصی آن‌ها را همراهی نمی‌کند. چین‌های گامه سوم کوچک مقیاس با دامنه کم، متقارن و باز هستند. آن‌ها دارای تمایل سطح محوری زیاد و میل کم بوده و موقعیت محوری  $15^{\circ}$ - $32^{\circ}$  دارند (شکل ۱۱-۶). کینک‌باندها دارای راستای  $335^{\circ}$ - $340^{\circ}$  بوده (شکل ۱۲-۶) و سطوح محوری آن‌ها دارای شیب زیاد یا قائم هستند.

### مجموعه دگرگونی چاه‌قند

بخش جنوبی مجموعه دگرگونی چاه‌قند، در شمال باخترا ناحیه چاه‌انجیر رخنمون دارد و از واحدهای شیستی و مرمری تشکیل شده است (شکل ۷-الف). برگوارگی موجود در واحدهای شیستی، از نوع پیوسته بوده و در نتیجه تبلور و آرایش بلورهای بیوتیت و مسکویت ایجاد شده است. موقعیت برگوارگی  $31^{\circ}$ - $39^{\circ}$  NW بوده و توسط چین‌های گامه دوم متاثر شده است. پورفیروblast‌های اصلی موجود در شیسته‌ها یعنی گارنت، کردیریت و آندالوزیت هم زمان با برگوارگی زمینه سنگ متبلور شده‌اند (شکل ۷-ج، د، و). البته شواهدی نیز نشان می‌دهد که بخش مرکزی گروهی از آندالوزیت‌ها کمی قبل از شکل‌گیری برگوارگی زمینه متبلور شده‌اند (شکل ۷-ه). لایه‌بندی در واحدهای مرمری توسط چین‌های گامه اول دارای موقعیت محوری  $30^{\circ}$ - $39^{\circ}$  متاثر شده است. مرمرها در طی دگریختن دوم چهار جریان یافته‌گی شدید شده و در آن‌ها ساختارهایی چون چین‌های غلافی و الگوهای چین‌خوردگی تداخلی متقارن شکل توسعه یافته است.

### رابطه چین‌خوردگی‌های گامه‌های اول و دوم در مناطق چاه‌گز - چاه‌انجیر

در مناطق دارای تاریخچه چین‌خوردگی مجدد، ساختارهای قدیمی هدایت‌کننده توزیع عناصر ساختاری جوانتر می‌باشند. بنابراین می‌توان با بررسی چگونگی چین‌خوردگی مجدد لایه‌بندی و برگوارگی گامه اول، اطلاعاتی در رابطه با خصوصیات چین‌خوردگی گامه اول به دست آورد (Ramsay, 1967; Ram-Huber, 1987). در ناحیه چاه‌گز، هندسه چین‌خوردگی لایه‌بندی و برگوارگی اولیه در دو قلمرو اطراف اثر سطح محوری چین متوسط مقیاس گامه اول، الگویی استوانه‌ای داشته و موقعیت محورهای چین‌خوردگی در دو قلمرو خاوری و باخترا به ترتیب  $15^{\circ}$ - $55^{\circ}$  و  $18^{\circ}$ - $65^{\circ}$  است. میل یکسان محور چین‌ها نشان‌دهنده آن است که یال‌های چین‌گامه اول شیب‌های تقریباً یکسان داشته و چین از نوع یال موازی است. از طرف دیگر، تمايل رو به شمال خاوری محور چین‌ها مشخص کننده آن است که یال جنوبی چین بزرگ مقیاس اولیه رو به شمال برگشته بوده است. چگونگی توزیع و میزان پراکندگی محور چین‌های



شکل ۸ نقشه زمین شناسی ناحیه دوچاهزهرا که بر پایه تصاویر ماهواره‌ای ترسیم شده است (اندازه‌گیری‌های ساختاری روی آن پیاده شده است).

### آنذیت‌ها و ریولیت‌های میلوفیتی

فابریک میلوفیتی در بخش شمالی واحد آنذیتی و در مرز آن با واحد گرانیتی توسعه بیشتری دارد. برگوارگی میلوفیتی توسط آرایش بلورهای بیوتیت مشخص شده و موقعیت  $88^{\circ}/30^{\circ}$  SE دارد (شکل ۱۸-۶). موقعیت برگوارگی میلوفیتی در بخش‌های مختلف واحد آنذیتی ثابت بوده و تنها در بخش مرکزی آن است که با واحد آنذیتی شیب، تا راستای  $128^{\circ}$  دچار چرخش شده و سپس به موقعیت اولیه باز می‌گردد (شکل ۸). برگوارگی میلوفیتی در رخنمون توسط خطواره‌ای کانیانی که حاصل جهت‌یابی بلورهای بیوتیت و با موقعیت میانگین  $70^{\circ}/89^{\circ}$  است، همراهی می‌شود (شکل ۱۸-۶). در مقاطع نازک، در این خطواره بلورهای کشیده و بهشدت تخت‌شده‌ای از کوارتز مشاهده می‌شود که نشان دهنده کشش به موازات آن است. موقعیت خطواره کششی در بخش‌های مختلف واحد آنذیتی ثابت است (شکل ۸). توسعه پهنه‌های برشی در واحد ریولیتی، محدود بوده و موقعیت برگوارگی میلوفیتی و خطواره کششی در آنها به ترتیب  $86^{\circ}/13^{\circ}$  SE و  $09^{\circ}/09^{\circ}$  است.

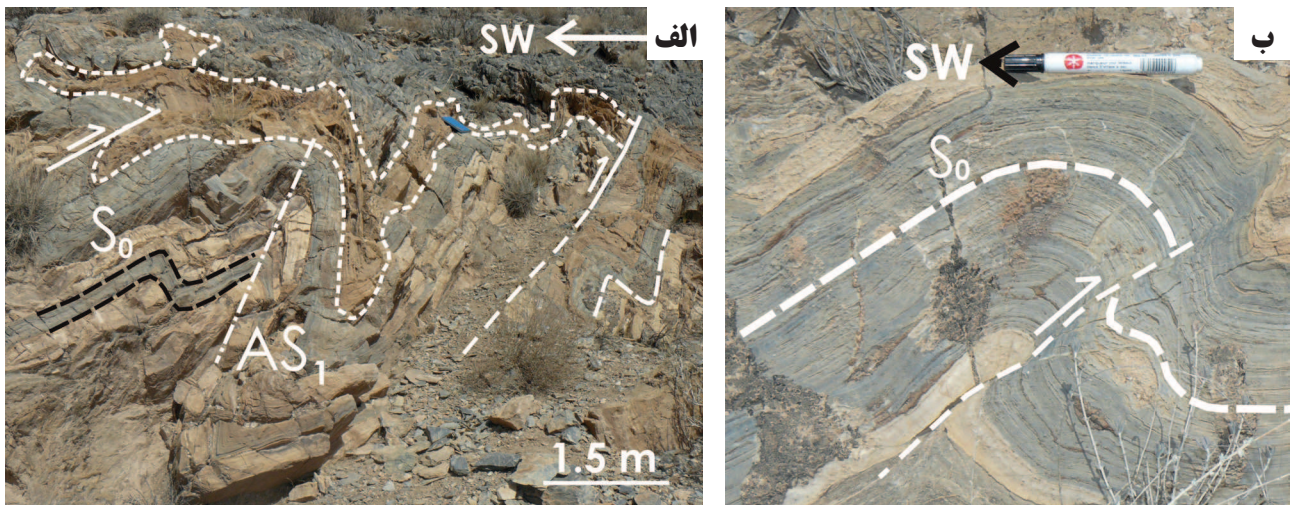
### دگرگونی

مجموعه دگرگونی شورو دو گامه دگرگونی ناحیه‌ای (MR1- MR2) را تجربه نموده است (شکل ۷-ج). مسکویت دما بالاترین کانی یافت شده است که برگوارگی سطح محوری چین‌های مراحل اول و دوم موجود در واحدهای اسلیتی- فیلیتی و شیستی را تشکیل داده است. در بلورهای کلسیت موجود در واحد کالک شیستی ناحیه چاهانجیر، ماکلهای دگرگونی مطابق با نوع ۴ تقسیم‌بندی (Burkhard 1993) یافت شده است که مشخص کننده شرایط دمایی بیش از  $250^{\circ}$  درجه سانتیگراد

### گرانیت میلوفیتی

توده گرانیتی دوچاهزهرا، سرزمین‌هایی هموار و فرسوده را شکل داده و بخش قابل توجهی از نیمه خاوری آن فاقد رخنمون است. با توجه به انطباق و مشابهت میان ریولیت‌های مناطق دوچاهزهرا و چاهگز، به نظر می‌رسد در این ناحیه نیز، زمان فعالیت مانگما می‌باشد. گرانیت میانی باز گردد. طول و عرض تقریبی توده گرانیتی به ترتیب  $8$  و  $2/5$  کیلومتر بوده و در مقطع افقی شکلی کشیده دارد (شکل ۸). آثار برش یافتنگی در مرزهای توده شدیدتر بوده و به سمت مرکز آن کاهش می‌یابد. گرانیت میلوفیتی، متتشکل از نوارهای روشی از جنس کوارتز، فلدسپار و مسکویت و نوارهای تیره‌ای از کانی‌های بیوتیت است.

برگوارگی میلوفیتی توسط آرایش بلورهای مسکویت و بیوتیت مشخص شده و برگوارگی‌های با شیب شمالی تنها در بخش باختری توده قرار دارند. برگوارگی میلوفیتی دارای دو موقعیت اصلی و فرعی به ترتیب  $83^{\circ}/29^{\circ}$  SE و  $106^{\circ}/22^{\circ}$  NE می‌باشد (شکل ۱۷-۶). موقعیت برگوارگی میلوفیتی در بخش‌های مختلف توده نفوذی، تغییراتی را نشان می‌دهد (شکل ۸). به طوری که در بخش خاوری، راستای  $080^{\circ}-095^{\circ}$  داشته و شیب کمتر از  $35^{\circ}$  درجه را به جنوب دارد. با ورود به نیمه باختری توده، راستای برگوارگی  $100^{\circ}-110^{\circ}$  بوده و این بار شیب کمتر از  $30^{\circ}$  درجه را به شمال پیدا می‌کند. در مرز شمالی گرانیت، بار دیگر برگوارگی به راستای اولیه بازگشته و شیبی کمتر از  $15^{\circ}$  درجه را به جنوب دارد. خطواره کششی، توسط آرایش و جهت‌یابی باندهای پلی کریستالین کوارتز و پورفیر و کلاستهای فلدسپار مشخص می‌شود و دارای دو موقعیت اصلی و فرعی  $09^{\circ}/088^{\circ}$  و  $12^{\circ}/26^{\circ}$  است (شکل ۱۷-۶). موقعیت خطواره کششی در بخش‌های مختلف توده نفوذی تقریباً ثابت است (شکل ۸).



شکل ۹. چین های گامه اول در واحد مرمری شمال چاهپت. (الف) برای جبران فضای حاصل از جریان یافته‌گی واحد مقاوم قهقهه‌ای رنگ (مشخص شده با خط چین)، راندگی‌هایی در واحدهای مقاوم توسعه یافته‌اند، ب) راندگی هم زمان با چین خوردگی عمل نموده و توسعه آن در داخل چین متوقف شده است.

روی گدازه‌های ریولیتی ناحیه چاهگر مشخص کرده است که مجموعه آتشفشنایی - رسوبی شورو، از دیدگاه تکتونیکی، به بخش کمان ماقمایی پهنه سنتدج - سیرجان تعلق دارد (Mousivand et al., 2011). در مجموعه دگرگونی شورو، ساختارهای متعلق به قدیمی‌ترین دگریختی به خوبی حفظ شده‌اند و طیفی از ساختارهایی چون چین‌ها و برگوارگی‌ها تا پهنه‌های بشی شکل‌پذیر را در بر می‌گیرند. دگریختی گامه اول به دو بخش قابل تفکیک است. زیرگامه نخست با فعالیت پهنه‌های بشی شکل‌پذیر و جای‌گیری هم زمان گرانیت دو چاهزهرا مشخص می‌گردد. در نتیجه، به نظر می‌رسد زمان عملکرد پهنه‌های بشی شکل‌پذیر، به دوره اوج فعالیت‌های ماقمایی در ژوراسیک میانی بسیار نزدیک است. زیرگامه دوم موجب توسعه ناحیه‌ای چین‌ها و برگوارگی‌ها در مناطق چاهگر، چاهانجیر و شمال چاهپت گردیده و پهنه‌های بشی شکل‌پذیر را نیز چین داده است. برگوارگی گامه اول، توسعه ناحیه‌ای داشته و در نواحی مجاور چون ده بربن و کوه سه قلاتون نیز شناسایی گردیده است (Sarkarnejad et al., 2008, 2009). سن سنج Ar/Ar بر روی بیوتیت‌های تشکیل دهنده این برگوارگی در کوه سه قلاتون، زمان تشکیل آن را آپتین پایانی مشخص کرده است (Sarkarnejad et al., 2009) (Fazlnia et al., 2009). بر پایه سن سنجی ترونجمیت‌های ناحیه سه قلاتون، زمان شروع فروزانش را قبل از  $147 \pm 7$  میلیون سال (انتهای ژوراسیک پایانی) مشخص کرده است. با توجه به اطلاعات فوق، به نظر می‌رسد دگریختی و دگرگونی گامه اول در محدوده زمانی ژوراسیک پایانی - کرتاسه زیرین و منطبق با مراحلی از کوهزایی کیمیرین پسین رخ داده باشد. دگریختی‌های مراحل دوم و سوم تنها در مناطق چاهگر و چاهانجیر عمل کرده‌اند. از آنجاکه در این مناطق، مجموعه‌های سنگی جوانتر از ژوراسیک میانی فاقد رخنمونی باشند، نمی‌توان اظهار نظر دقیقی در رابطه با جایگاه تکتونیکی آن‌ها داشت.

هستند. شواهد فوق نشان‌دهنده آن است که دو گامه دگرگونی همراه با دگریختی‌ها، در بخش‌های بالایی رخساره شیست سبز و در شرایط دما و فشار پائین رخ داده است. مجموعه دگرگونی چاه‌قند نیازمند مطالعات جامع تری در آینده است. اطلاعات در دسترس نشان از رخداد یک گامه دگرگونی مجاورتی (MC) و متعاقب آن یک گامه دگرگونی ناحیه‌ای (MR2) دارند (شکل ۷-۷). پاراژن کانیایی مسکوویت + بیوتیت + آندالوزیت + گارنت + کردیریت که در واحدهای شیستی این مجموعه قابل مشاهده است، نشان‌دهنده شرایط دمای متوسط و فشار پائین بوده و در طی دگرگونی مجاورتی ایجاد شده‌اند. عامل ایجاد دگرگونی مجاورتی به احتمال زیاد با صعود و جای‌گیری مجموعه مافیک - اولترامافیک چاه‌قند در ارتباط است (سبزهای و همکاران، ۱۳۷۴). دگرگونی ناحیه‌ای با تبلور بلورهای مسکوویت در سطح محوری چین‌های گامه دوم مشخص شده و معادل دگرگونی گامه دوم مجموعه دگرگونی شورو است.

## بحث

مجموعه آتشفشنایی - رسوبی شورو و مجموعه‌های ماقمایی چاه‌دزدان و چاه‌قند محصول یک دوره فعالیت ماقمایی گسترده در ژوراسیک میانی هستند (شکل ۱). سن سنجی K/Ar در بخش‌های گرانیتی و گابرویی مجموعه‌های ماقمایی چاه‌دزدان و چاه‌قند، سن آن‌ها را به ترتیب  $165 \pm 5$  و  $159 \pm 5$  میلیون سال مشخص کرده (Sheikhholeslami et al., 2003) و طبیعت کالک آلکالن توده‌ها، شاهدی بر ارتباط آن‌ها با فروزانش دانسته شده است. سن سنجی U/Th در بخش آنورتوزیتی مجموعه چاه‌دزدان، سنی نزدیک به مطالعه پیشین ( $173 \pm 1/6$  میلیون سال) را مشخص کرده است (Fazlnia et al., 2009). اما در مطالعه اخیر، جای‌گیری توده، هم زمان با ریفت‌شدگی مرتبط با بازشدگی حوضه نئوتیس عنوان شده است. با وجود اختلاف دیدگاه در رابطه با جایگاه تکتونیکی مجموعه‌های چاه‌دزدان و چاه‌قند، نتایج مطالعات ژئوشیمیایی بر

- سبزهای، م.، روش روان، ج.، نظام زاده، م. و عزیزان، ۱۳۷۶. نقشه زمین‌شناسی خبر، مقیاس ۱:۱۰۰,۰۰۰. سازمان زمین‌شناسی و اکتشافات معدنی کشور.
- سهندی، م.، نظام زاده، م.، عزیزان، م.، نوازی، م.، عطایپور، ۱۳۷۶. نقشه زمین‌شناسی دشت ور، مقیاس ۱:۱۰۰,۰۰۰. سازمان زمین‌شناسی و اکتشافات معدنی کشور.
- سهیلی، م.، سبزهای، م.، اشراقی، س.، روش روان، ج.، مجلل، م.، خان ناظر، ن.، گروه یوگسلاو، عبداللهی، م. و اقلیمی، ب.، ۱۳۶۹. نقشه زمین‌شناسی سیرجان، مقیاس ۱:۲۵۰,۰۰۰. سازمان زمین‌شناسی و اکتشافات معدنی کشور.

- Ahmadi Khalaji, A., Esmaeily, D., Valizadeh, M.V. and Rahimpour-Bonab, H., 2007. Petrology and geochemistry of the granitoid complex of Boroujerd, Sanandaj-Sirjan Zone, Western Iran. *Journal of Asian Earth Sciences*, 29, 859–877.

- Arvin, M., Pan, Y., Dargahi, S., Malekizadeh, A. and Babaei, A., 2007. Petrochemistry of the Siah-Kuh granitoid stock southwest of Kerman, Iran: implications for initiation of Neotethys subduction. *Journal of Asian Earth Sciences*, 30, 474–489.

- Berberian, F. and Berberian, M., 1981. Tectono-plutonic episodes in Iran. In: Gupta, H.K., Delany, F.M. (Eds.), Zagros, Hindu Kush, Himalaya. *Geodynamic Evolution*, American Geophysical Union, Geodynamics Series, 3, 5–32.

- Burkhard M., 1993. Calcite twins, their geometry, appearance and significance as stress-strain markers and indicators of tectonic regime: a review. *Journal of Structural Geology*, 15, 351–368.

- Fazlnia, A., Schenk, V., Van der Straaten, F. and Mirmohammadi, M., 2009. Petrology, geochemistry, and geochronology of trondhjemites from the Qori Complex, Neyriz, Iran. *Lithos*, 112, 413–433.

- Mousivand, F., Rastad, E., Meffre, S., Peter, J. M. and Solomon, M., 2011. U-Pb geochronology and Pb isotope characteristics of the Chahgaz volcanogenic massive sulfide deposit, Sanandaj-Sirjan zone, southern Iran. *International Geology Review*, 53, 1239–1262.

- Omrani, J., Agard, P., Whitechurch, H., Benoit, M., Prouteau, G. and Labrousse, L., 2008. Arc-magmatism and subduction history beneath the Zagros Mountains, Iran: A new report of adakites and geodynamic consequences, *Lithos*, 106, 380–398.

- Ramsay, JG., 1967. *Folding and Fracturing of Rocks*.

## نتیجه گیری

مجموعه رسویی - آتشتیشانی شورو به عنوان بخشی از سندج - سیرجان، سه گامه دگریختی و دو گامه دگرگونی را متحمل گردیده است که همگی پس از ژوراسیک میانی رخ داده‌اند. دگریختی گامه اول در مناطق چاهگز و چاهانجیر، در بردارنده چین‌های یال موادی دارای میل کم تا متوسط رو به شمال باخترا - جنوب خاور و برگوارگی سطح محوری دارای شیب کم تا متوسط رو به شمال خاوری است. در دگریختی گامه دوم، چین‌ها باز تا بسته بوده، میل کم رو به شمال خاور - جنوب باخترا دارند. برگوارگی کنگره‌ای سطح محوری چین‌ها شیب زیاد رو به شمال و جنوب دارد. برگوارگی ترکیبی این گامه، قائم بوده، راستای شمال خاور - جنوب باخترا داشته و در واحدهای شیستی ناحیه چاهگز، فابریک میلونیتی ضعیفی را نشان می‌دهد. دو گامه دگریختی مورد اشاره، با دگرگونی در حد رخساره شیست سبز همراهی می‌گردد. دگریختی گامه سوم در شرایط پس از دگرگونی رخ داده و ساختارهایی چون چین‌های ایستاده با میل کم تا متوسط رو به شمال باخترا و پهنه‌های برشی محلی را در بر می‌گیرد. در منطقه دو چاه‌زهرا، دگریختی گامه اول از دو زیر گامه تشکیل شده است: گامه نخست با عملکرد پهنه‌های برشی شکل‌پذیر دارای راستای کلی خاوری - باخترا و سازوکار راستالغز مشخص می‌شود. گرانیت دوچاه‌زهرا توده نفوذی همزمان با این گامه بوده و در فضای میان پهنه‌های برشی جای‌گیری کرده است. در گامه دوم، چین‌های دارای محور با میل کم رو به شمال باخترا - جنوب خاور و سطوح محوری دارای شیب متوسط رو به جنوب تا قائم شکل گرفته و پهنه‌های برشی شکل‌پذیر را چین می‌دهند. این گامه با دگریختی گامه اول مناطق چاهگز و چاهانجیر قابل انطباق است.

## سپاسگزاری

این نوشتار بخشی از طرح تحقیقاتی "ساختارها و فابریک در منطقه شورو (جنوب شهریابک)" است که با حمایت مالی معاونت پژوهشی دانشگاه تربیت مدرس به انجام رسیده است. لذا به این وسیله از تلاش‌های آن معاونت قدردانی می‌گردد.

## منابع

- سبزهای، م.، علوی تهرانی، ن.، مجیدی، ب.، واله، ن.، ریکو، ا.، قریشی، م.، اطمینان، ه. و عمیدی، م.، ۱۳۷۲. نقشه زمین‌شناسی نیریز، مقیاس ۱:۲۵۰,۰۰۰. سازمان زمین‌شناسی و اکتشافات معدنی کشور.
- سبزهای، م.، روش روان، ج. و امینی، ب.، ۱۳۷۴. نقشه زمین‌شناسی کرسفید، مقیاس ۱:۱۰۰,۰۰۰. سازمان زمین‌شناسی و اکتشافات معدنی کشور.
- سبزهای، م.، روش روان، ج.، نظام زاده، م. و عزیزان، م.، ۱۳۷۵. نقشه زمین‌شناسی باغات، مقیاس ۱:۱۰۰,۰۰۰. سازمان زمین‌شناسی و اکتشافات معدنی کشور.

McGraw Hill, 564.

- Ramsay, J.G. and Huber, M.I., 1987. The Techniques of Modern Structural Geology, volume 2: Folds and Fractures, Academic Press, 700.

- Sarkarinejad, K., Faghih, A. and Garsemann, B., 2008. Transpressional deformations within the Sanandaj-Sirjan metamorphic belt (Zagros Mountains, Iran). Journal of Structural Geology, 30, 818–826.

- Sarkarinejad, K., Godin, K. and Faghih, A., 2009. Kinematic vorticity flow analysis and  $^{40}\text{Ar}/^{39}\text{Ar}$  geochronology related to inclined extrusion of the HP-LT metamorphic rocks along the Zagros Accretionary Prism, Iran. Journal of Structural Geology, 31, 691-706.

- Shahbazi, H., Siebel, W., Pourmoafee, M., M., Ghorbani, M., Sepahi, A.A., Shang, C.K. and Vousooughi Abedini, M. 2010. Geochemistry and U-Pb zircon geochronology of the Alvand plutonic complex in Sanandaj-Sirjan Zone (Iran): New evidence for Jurassic magmatism. Journal of Asian Earth Sciences, 39, 668-683.

- Sheikholeslami, M.R., Bellon, H., Hashem Emami, M., Sabzehei, M. and Pique', A., 2003. Nouvelles données structurales et datation  $^{40}\text{K}-^{40}\text{Ar}$  sur les roches métamorphiques de la région de Neyriz (zone de Sanandaj-Sirjan, Iran méridional). Leur intérêt dans le cadre du domaine néotéthysien du Moyen-Orient, C.R. Geoscience 335, 981– 991.

- Thiessen, R.L. and Means, W.D., 1980. Classification of fold interference patterns: a re-examination. Journal of Structural Geology, 2, 311–316.

- Watters, W.A., Sabzehei, M., Alavi Tehrani., M., Etminan, H. and Majidi, B., 1970. Preliminary report on the geology and petrography of the metamorphic and igneous rocks of central part of Neyriz Quadrangle Geological Survey of Iran, Internal report, 113.

- Williams, P.F., 1985. Multiply deformed terrains problems and correlation. Journal of Structural Geology, 7, 269-280.